

Հայաստանի կենսաբ. հանդես, 2(64), 2012

ՆԵՅՐՈԲԼԱՍՏՈՍՎԱՅԻՆ SK-N-MC ԲՋԶԱՅԻՆ ԳԾԻ ՊԼՈՒԴՈՒԹՅԱՆ
ՑՈՒՅԱՆԻԾԻ ՈՒՍՈՒՄՆԱՍԻՐՈՒԹՅՈՒՆԸ ՄԱՐԴՈՒ ՀԵՐՊԵՏՈՎԻ-1
ՎԱՐԱԿԻ ԺՎԱՆԱԾՎԿ

Հ.Ս. ՉԱՐԱՐՅԱՆ

ՀՀ ԳԱԱ Մոլեկուլային կենսաբանության ինստիտուտ, քջի կենսաբանության լաբորատորիա
hovakim@yahoo.am

Ուսումնասիրվել են նեյրոբլաստոմային SK-N-MC բջիջների պլոյդության ցուցանիշի (c) փոփոխությունները մարդու հերպեսվիրուս 1 վարակի ժամանակ։ Ցույց է տրվել, որ վարակից 24 ժ անց, ի հայտ են գալիս բջիջներ, որոնցում ԴՆԹ-ի քանակը գերազանցում է 64c։ Նմանատիպ բջիջներում քրոմատինի կառուցվածքը խախտված է, իսկ կորիզակային մարմնիկները բացակայում են։ Վարակի ավելի ուշ՝ փուլերում նման բջիջներ չեն հայտնաբերվել։

Բջիջ – հերպեսվիրուս – կորիզ – պլոյդություն – սինցիտիում

Изучался показатель пloidности (c) нейробластомных клеток SK-N-MC при заражении человека герпесвирусом типа 1. В этой работе показано, что через 24 ч после заражения появляются клетки, в которых количество ДНК больше 64c. В таких клетках нарушена структура хроматина, а также отсутствуют ядрышки. На поздних стадиях инфекции таких клеток не было обнаружено.

Клетка – герпесвирус – ядро – пloidность – синцитий

We studied the ploidy index (c) of neuroblastoma cell line, SK-N-MC, during infection with human herpesvirus 1. Herein we show the emergence of cells in which DNA content exceeded 64c after post-infection 24 hours. These cells were characterized by the absence of nucleoli and disrupted chromatin structure. Cells with elevated DNA content were not detected in the later stages of infection.

Cell – herpesvirus – nucleus – ploidy – syncytium

Մարդու հերպեսվիրուս 1-ը (ՄՀՎ-1) պատկանում է Herpesviridae ընտանիքին, որի մեջ ներառված են լիպիդային թաղանթ ունեցող երկշղթա ԴՆԹ գենոմով մարդու և կենդանիների տարբեր վիրուսներ։ Herpesviridae ընտանիքի մեջ մտնում են մարդու ութ տարբեր հերպեսվիրուսներ, այս է ՄՀՎ-1 և -2, Էպչտեյն-Բաշի վիրուսը, Կարոհելլազուրտեր վիրուսը, մարդու ցիտոմեգալիվիրուսը, Կառոչի սարկոմայի աստցագված հերպեսվիրուսը, ՄՀՎ-6 և -7։ Մարդու հերպեսվիրուսները մարդկային պոպուլյացիայում հանդիպող ամենատարածված վիրուսներն են, որոնք կարող են սուր վարակի հետ մեկտեղ հարուցել նաև լատենտ վարակ և պահպանվել պոպուլյացիայում երկար ժամանակ։

ՄՀՎ-1 (ինչպես նաև ՄՀՎ-2) հարուցում են լորձաթաղանթի տեղային վնասվածքներ։ Սուր վարակ առաջացնում են լորձաթաղանթի ենիթելային բջիջներում իսկ նյարդային ծագման բջիջներում (սենսորային նեյրոններում), հիմնականում լատենտ վարակ։ Լատենտ վարակի ժամանակ ՄՀՎ-1 գենոմը հանդես է գալիս որպես օդակածն էախոնմ, որի գեների մեծ մասը լրեցված վիճակում են և վիրուսը չի ռեակտիվացնում։ Տարբեր սթրեսային գործնների ազդեցությամբ՝ հյուսվածքների վնասվածք, հիպերթերմիա, հորմոնալ խանգարում և այլն, ՄՀՎ-1 ակտիվանում է և սկսում ռեակտիվացնել սենսորային նեյրոններում [16]։

Կորիզում, ինչպես նաև ցիտոպլազմայում, ռեպիլիկացվող վիրուսների մեջ մասը հարուցում են կորիզային կառուցվածքների և գործառույթների ձևափոխում [17]: Ցույց է տրվել, որ ՄՀՎ-1 ձևափոխում է կորիզի այնպիսի կառուցվածքներ, ինչպես օրինակ պրոմետոցիտիկ լեկեմիայի մարմնիկները, կորիզաթաղանթը և կորիզակները [7, 10, 12]: ՄՀՎ-1 կարող է առաջացնել նաև գենետիկական անկայունություն: ՄՀՎ-1 վարակի ժամանակ գենետիկական անկայունությունը առաջացման մի քանի եղանակներ են հայտնի՝ սինցիտուլսների ձևավորում, քրոմոսոմային կտրվածքներ և բջիջի բաժանման խանգարում [6, 13, 15]:

Պոլիալիդուրությունը գենետիկական անկայունության մեկ այլ տարածված ձև է, որի ժամանակ տեղի է ունենում քրոմոսոմային հավաքակազմի փոփոխություն: Ցույց է տրվել, որ մի շարք վիրուսներ, այդ թվում և ՄՀՎ-1, կարող են խափանել բջիջ բաժանման շրջանը և առաջացնել պոլիպլուդիա [6, 9]: ՄՀՎ-1 վարակի ժամանակ պոլիպլուդի բջիջների առաջացման եղանակները գտն են ուսումնասիրված, իսկ առ լիպիդիան լարդային ծագման բջիջներում մնում է չհետագույն:

Այս աշխատանքի նպատակն է ուսումնասիրել նեյրոբլաստոմային SK-N-MC բջջային գծի պոլիդուրության ցուցանիշը ՄՀՎ-1 վարակի տարբեր ժամանակահատվածներում: Այդ նպատակով հաշվարկվել է վարակված բջիջների ԴՆԹ-ի քանակը և բջիջները դասակարգվել են ըստ պոլիդուրության դասերի: Աշխատանքում ներկայացվում են նաև բջիջների պոպուլյացիոն ցուցանիշները վարակի ժամանակ:

Այութ և մեթոդ: Բջիջները SK-N-MC բջջային գիծը նեյրոբլաստոմային ծագում ունի: Այս աճեցվել է Eagle DMEM միջավարում՝ ցուկի սաղմանային 10%-ոց շճուկի ավելացմամբ: Բջիջների ցանկը չափարաժնին $E^2 \times 105$ բջիջ/վլ:

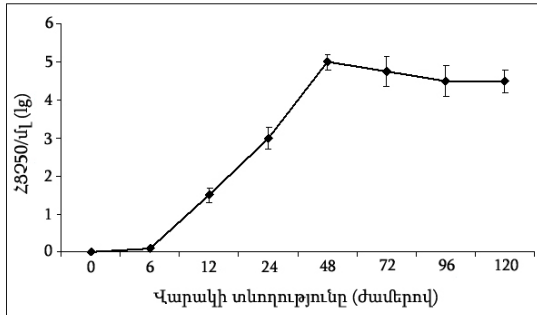
Վիրուս: Աշխատանքում օգտագործել է ՄՀՎ-1: Վարակի առաջացման համար բջիջների 24 ժամյա մոնոշերտին (ծածկապակի) ավելացվել է 0.0001 ԴՉ250 (հյուսվածքային ցիտոպաթիկ չափարաժնի)/բջիջ քանակի վիրուս: Վիրուսի կենսաբանական տիտրը վարակի տարբեր ժամանակահատվածներում որոշվել է Կերբերի մեթոդով [4]:

Բջջաֆուտուներիա: Բջջաբանական և բջջագենետիկ հետազոտությունների նպատակով վերցված ծածկապակների ստուգիչ և վիրուսված վարակված խմբերը դիտարկվել են միևնույն վարակի 120-րդ ժամը: Բջջաֆուտուներիայի նպատակում բջիջները 30 րոպե պահպել են 96° էթիլ սպիրտի մեջ, որից հետո ներկվել են հիմնային ֆուրսինով՝ ըստ Ֆյուգենի: ԴՆԹ-ի հիդրոլիզը կատարվել է 5N HCl մեջ (1 ժ, 22°C) ապա ներկվել Ծիփի ռեակտիվով՝ ըստ Սթունի մոդիֆիկացիայի [1]: ԴՆԹ-ի քանակի հաշվարկման համար յուրաքանչյուր բջիջ կորիզը ընդունվել է Bioscan ծրագրով ապա հաշվարկվել SMP 05 (Opton) բջջաֆուտուներով՝ 575 նմ ալիքի համար: Աշխատանքում ԴՆԹ-ի քանակը արտահայտված է միավորով, և 1c համարժեք է բջիջ հապլիդ բրոմոսումային հավաքագմի ԴՆԹ-ի քանակին [5]: Որպես դիպոլիդ չափանմուշ վերցվել է մարդու լիմֆոցիտների ԴՆԹ-ի քանակը [1]:

Վիճակագրական հաշվարկ: Փորձը կրկնվել է երեք անգամ: Ցուրաքանչյուր փորձի համար հաշվարկվել է 100 բջջակորիզներում եղած ԴՆԹ: Միջին մեծությունների տարբերության հավաստիությունը զնահատվել է Սթյուդենտի t-թեստի մջոցով, $p < 0.05$ մակարդակն ընդունվել է որպես հավաստի:

Արդյունքներ և քննարկություն: Վիրուսի ռեպիլիկացիան SK-N-MC բջիջներում ընթացել է դանդաղ համեմատած ավելի զգայուն բջջային գծերի հետ, ինչպես օրինակ Vero: Վիրուսի տիտրի առավելագույն արժեքը՝ 4.5-5.0 ԴՉ250/մլ, գրանցվել է վարակից 48 ժամ, որից հետո նկատվել է տիտրի նվազում, պայմանավորված բջիջների միաշերտի քայլայմամբ (նկ. 1): Բջիջների ապուլազիոն ցուցանիշների ուսումնասիրությունը ցույց է տալիս, որ վարակի սկզբանական շրջանում բջիջների քանակը արժանահավատ փոփոխության չի ներարկվում և միայն վարակի 72-րդ ժամից սկսած նկատվում է բջիջների քանակի նվազում միավոր մակերեսում (առ. 1): Վարակի բոլոր ժամանակահատվածներում նկատվում է մահացած բջիջների քանակի արժանահավատ աճ: Մահացած բջիջների առավելագույն քանակը գրանցվել է վարակի 72-96 ժամանակահատվածում: Բջիջների միտոտիկ ակտիվիլությունը չի նկատվում:

Բջջաֆուտուներիկ տվյալների համաձայն SK-N-MC բջիջները ստուգիչ խումբը շուրջպայմանիդ են և պոլիպլուդ բջիջների (8c և ավել) քանակը կազմում է $6.7 \pm 0.6\%$ (նկ. 2): Բջիջների աճեցման ժամանակ պոլիպլուդ բջիջների տոկոսի փոփոխությունը գրեթե չի նկատվել, և միայն 120-րդ ժամից սկսած նկատվում է քանակի նվազում ստուգիչը ապա նաև վարակված բջիջների խմբում (144-րդ ժամին): Այսպիսով, պոլիպլուդ բջիջները պահպանվում են ամբողջ փորձի ընթացքում:



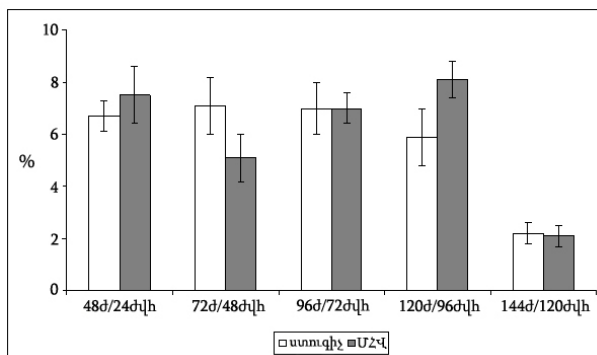
Նկար 1. SK-N-MC բջիջներում ՄՐՎ-1 տիտրի փոփոխությունը վարակի տարբեր ժամերին

Աղյուսակ 1. SK-N-MC բջիջների պոպուլյացիոն ցուցանիշները

Խումբ և ժամ	Բջիջների քանակը, 0.01 մմ ²	Միտոզների քանակը, %	Մահացած բջիջների քանակը, %
Սոուզիչ 24+24 Ժ	17.8±0.9	2.3±0.3	6.9±2.3
ՄՐՎ-1 24+24 Ժ	17.4±0.9	3.1±0.2*	14.1±1.6*
Սոուզիչ 24+48 Ժ	18.2±0.7	2.2±0.4	8.2±1.1
ՄՐՎ-1 24+48 Ժ	20.3±0.9	2.5±0.4	17.7±1.5*
Սոուզիչ 24+72 Ժ	20.1±0.9	2.3±0.3	15.0±1.4
ՄՐՎ-1 24+72 Ժ	15.8±0.7*	2.0±0.5	22.2±2.6*
Սոուզիչ 24+96 Ժ	19.3±0.8	2.1±0.3	11.4±1.6
ՄՐՎ-1 24+96 Ժ	13.5±0.8*	2.2±0.4	27.4±2.2*

* $p < 0.05$

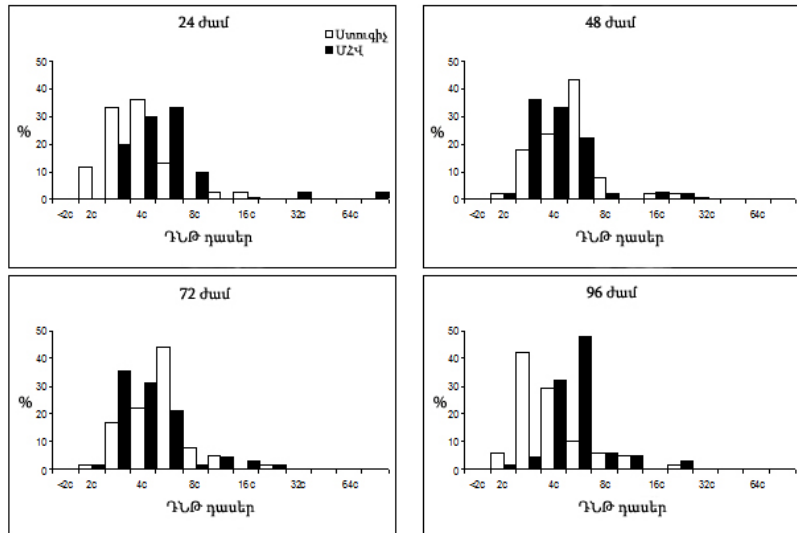
Սոուզիչ խմբի պոլիպուիդ բջիջներում ԴՆԹ-ի քանակը հիմնականում համապատասխանում է 8c-16c արժեքներին և 32c պոլիպուիդ բջիջներ չեն հանդիպում (նկ. 3): Յիսուգրամայից երևում է, որ բջիջների աճեցման սկզբնական շրջանում ավելանում են գերտեստրապուիդ բջիջները, իսկ ավելի ուշ փուլերում մահացած բջիջների թվաքանակի ավելացմանը զուգահեռ, իիսուգրաման տեղաշարժվում է ձախ, և գերակշռում են հիպերդիպուիդ բջիջները (նկ. 3):



Նկար 2. Պոլիպուիդ բջիջների տոկոսային քանակը կրցիսների առանցքն իրենից ներկայացնում է տարբեր ժամանակահատվածներ, որի վրա Ժ-Ն և Նշանակում է ժամ (բջիջների աճեցման տևողությունը) իսկ Ժկ-Ն՝ ժամ վարակից հետո (վիրուսային վարակի տևողությունը)

Վիրուսային վարակից 24 Ժ անց ի հայտ են գալիս մեծ պոլիպուիդ բջիջներ, որոնցում ԴՆԹ-ի քանակը գերազանցում է 32c: Նման բջիջներում ԴՆԹ-ի քանակը հասնում է մինչև 64c և ավել (նկ. 3): Մեծ պոլիպուիդ բջիջների կյանքի տևողությունը կարճ է և վարակից 48 Ժ անց բջիջները անհետանում են: Վարակի ավելի ուշ փուլերում (96-120 Ժ և ավել) կրկին ի հայտ են գալիս մեծ պոլիպուիդ բջիջներ (ցույց տրված չեն):

ՂՆԹ-ի քանակը պոլիպուրիտ բջիջներում վարակի ժամանակ ավելի մեծ է քանստուգիզում: Եթե ստուգիչ խմբում ՂՆԹ-ի միջին քանակը 8c և ավել բջիջներում հավասար էր 12.6 ± 1.5 , ապա վարակից 24 ժ անց այն դառնում է 44.3 ± 4.1 ($p < 0.001$): Վարակի ավելի ուշ ժամերին արժանահավատ տարբերությունը վերանում է (ցույց տրված չէ):



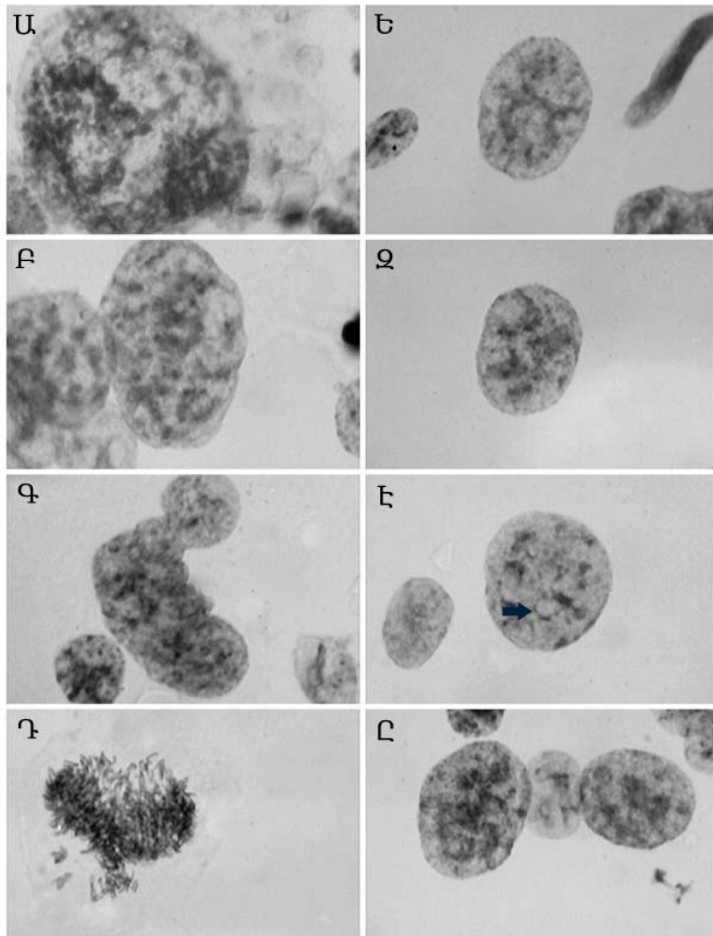
Նկար 3. SK-N-MC բջիջների տոկոսային բաշխումը ըստ պոլիպության դասերի

Ղիտարկվող պոլիպուրիտ բջիջները կարելի է բաժանալ երկու խմբի՝ ըստ քրոմատիկի և կորիզակների առկայության: Առաջին խմբի մեջ մտնում են այն բջիջները, որոնց կորիզում պահպանվել է քրոմատինի կառուցվածքը և երևում են կորիզակներ (Ակ. 4 Բ, Ե, Զ, Ը): Նման բջիջներում ՂՆԹ-ի քանակը չի գերազանցում 32c: Երկրորդ խմբի մեջ մտնում են այն բջիջները, որոնցում քրոմատինի կառուցվածքը խանգարված է, իսկ կորիզակները բացակայում են (Ակ. 4 Գ): Նմանատիա բջիջների ՂՆԹ-ի քանակը հիմնականում գերազանցում է 32c, և նման բջիջներ կարող են առաջանալ մի քանի կորիզակների միաձուլումից:

ՄՅՎ-1 վարակի ժամանակ պոլիպուրիտ բջիջների առաջացման մեխանիզմները վատ են ուստամասիրված: Յայտնի է, որ պոլիպուրիտ բջիջների առաջացման հիմնական պատճառը միտոզի հասկանում է տարբեր փուլերում [11]: Ցույց է տրվել, որ ՄՅՎ-1 վարակի ժամանակ պոլիպուրիտ բջիջների առաջացման պատճառ կարող են հանդիսանալ վիրուսային չորս սպիտակուցներ՝ ICP4, ICP8, ՂՆԹ-պոլիմերազը և նուկլեազը [2]: Միտոզի արգելափակում հատկապես կարող է առաջացնել ՂՆԹ-պոլիմերազը և վիրուսները, որոնք չերում գգայուն մուտանտներ են ՂՆԹ-պոլիմերազի նկատմամբ, չորս անգամ ավելի քիչ պոլիպուրիտ բջիջներ են առաջացնում, քան վայրի տեսակի ՄՅՎ-1: Վերջին շրջանում նկարագրվել է վիրուսային մեկ այլ սպիտակուցի՝ ICP0-ի դերը միտոզի խանգարման մեջ: Ցույց է տրվել, որ E3 ուրիշվիտին-լիգազային ակտիվությունը ունեցող ICP0 սպիտակուցը կարող է առաջացնել միտոզի արգելափակում G2/M փուլում p53-ից անկախ ճանապարհով [8]:

Յայտնի է նաև, որ ICP0 խթանում է ցենտրոսմային կառուցվածքի քայլայում և առաջացնում է անկայուն միկրոխորովակներ [3, 9]:

Այս աշխատանքում ցույց տրվեց, որ վարակից 24 ժ անց, առաջանում են հսկա կորիզով պոլիպուրիտ բջիջներ, որոնցում ՂՆԹ-ի քանակը գերազանցում 64c: Նմանատիա հսկա կորիզները շատ կարծ ժամանակահատվածում կարող են առաջանալ մի քանի կորիզների միաձուլման արդյունքում, այլ ոչ թե միտոզի խանգարման: Միտոզի խանգարմամբ առաջացող պոլիպուրիտ բջիջների ՂՆԹ-ն սովորաբար չի գերազանցում 32c և կորիզում պահպանվում է քրոմատինի կառուցվածքն ու կորիզակները:



Ակար 4. Պոլիպուլիտ բջիջների կորիզները վիրուսային վարակի (Ա-Դ) ժամանակ և ստուգիչ (Ե-Ը) խմբում

Ա - ոչ կենսունակ բջջի մեծ կորիզ (Վարակից 24 ժ անց), Բ - պոլիպուլիտ բջջի կորիզ (Վարակից 48 ժ անց), Գ - մի քանի կորիզների միաձուլում (Վարակից 24 ժ անց), Դ - պոլիպուլիտ բջջի միտոզ (Վարակից 48 ժ անց), Ե, Ը - պոլիպուլիտ բջիջների կորիզներ, Ե, Ը - շորջիպահող և պոլիպուլիտ բջիջների կորիզներ: Բջջի կորիզները ներկվել են Ֆյոլդենի մեթոդով: Մանրադիտակի խոշորացումը՝ 1000 x:

Ճայտնի է, որ շատ վիրուսներ, այդ թվում և ՄՀՎ-1, օրգանիզմում տեղաշարժվում են, օգտագործելով բջիջների միջև եղած կապերը: Արած տեղաշարժման համար ՄՀՎ-1 առաջացնում է սինցիտիումներ, որոնք իրենցից ներկայացնում են բազմաթիվ բջիջների միաձուլում, պահպանված առանձին կորիզներով [14]: Սակայն մինչ այժմ նկարագրված չէ կորիզների միաձուլումը սինցիտիումների ներսում:

Ստացված տվյալների հիման վրա կարելի է ենթադրել, որ խոշոր կորիզով ու ԴՆԹ-ի 64c և ավել քանակով պոլիպուլիտ բջիջների առաջացումը սինցիտիումի ներսում կորիզների միաձուլման հետևանք է: Չնայած, որ այս երևոյթը հերպեսվիրուսների դեպքում շատ վատ է ուսումնասիրված, ստացված արդյունքները լավ հիմք են հանդիսանում հետագա հետազոտությունների համար, որոնք կարող են լույս սփռել ՄՀՎ-1 բջջախտաբանության անհայտ կողմերի վրա:

ԳՐԱԿԱՆՈՒԹՅՈՒՆ

1. *Մագակյան Յ.Ա., Կարալովա Ե.Մ.* Ցիտոֆոտոմետրիա ԴНԿ. Երևան, Издательство АН Армении, 1989.
2. *Chenet-Monte C., Mohammad F., Celluzzi C.M., Schaffer P.A., Farber F.E.* Herpes simplex virus gene products involved in the induction of chromosomal aberrations. *Virus Res* 6, 3, 245-60, 1986.
3. *Everett R.D., Earnshaw W.C., Findlay J., Lomonte P.* Specific destruction of kinetochore protein CENP-C and disruption of cell division by herpes simplex virus immediate-early protein Vmw110. *EMBO J.*, 18, 1526–1538, 1999.
4. *Finney J.* Statistical Method in Biological Assay. Hafner Publishing Co., N.Y., 1952.
5. *Haroske G., Kunze K.D. and Theissig F.* Prognostic significance of image cytometry DNA parameters in tissue sections from breast and gastric cancers. *Anal Cell Pathol.*, 3, 11-24. 1991.
6. *Hobbs W.E., DeLuca N.A.* Perturbation of cell cycle progression and cellular gene expression as a function of herpes simplex virus ICP0. *J Virol.*, 73, 8245-8255, 1999.
7. *Lee C.P., Chen M.R.* Escape of herpesviruses from the nucleus. *Rev Med Virol.*, 20, 214-230, 2010.
8. *Li H., Baskaran R., Krisky D.M., Bein K., Grandi P., Cohen J.B., Glorioso J.C.* Chk2 is required for HSV-1 ICP0-mediated G2/M arrest and enhancement of virus growth. *Virology* 375, 13–23, 2008.
9. *Liu M., Schmidt E.E., Halford W.P.* ICP0 Dismantles Microtubule Networks in Herpes Simplex Virus-Infected Cells. *PLoS One* 5 (6): e10975, 2010.
10. *Lymberopoulos M.H., Bourget A., Abdeljelil N.B., Pearson A.* Involvement of the UL24 protein in herpes simplex virus 1-induced dispersal of B23 and in nuclear egress. *Virology* 412, 341-348, 2011.
11. *Normand G., King R.W.* Understanding cytokinesis failure. *Adv Exp Med Biol.*, 676, 27-55, 2010.
12. *Parkinson J., Everett R.D.* Alphaherpesvirus proteins related to herpes simplex virus type 1 ICP0 affect cellular structures and proteins. *J. Virol.*, 74, 10006-10017, 2000.
13. *Roizman B.* Polykaryocytosis induced by viruses. *PNAS*, 48, 228-234, 1962.
14. *Sattentau Q.* Avoiding the void: cell-to-cell spread of human viruses. *Nat. Rev. Microbiol.*, 6, 11, 815-26, 2008.
15. *Stanley P.* Chromosome Damage Induced by Herpes Simplex Virus Type 1 in Early Infection. *J. Gen. Virol.* 67, 2273-2277, 1986.
16. *Whitley R.J., Roizman B.* Herpes simplex virus infections. *Lancet*, 357, 9267, 1513–8, 2001.
17. *Zakaryan H., Stamminger T.* Nuclear remodelling during viral infections. *Cell Microbiol* 13, 6, 806-813, 2011.

Ստուգվել է 10.10.2011